

Кинетика нестационарного энергообмена в среде с амплитудно-фазовым характером нелинейного отклика

© А.А. Бугаев, П.П. Борисков

Физико-технический институт им. А.Ф. Иоффе Российской академии наук, 194021 Санкт-Петербург, Россия

(Поступила в Редакцию 27 мая 1997 г.)

В приближении заданного поля накачки получено решение системы связанных волновых уравнений, описывающее кинетику нестационарного энергообмена между двумя световыми импульсами в объемной среде с локальным откликом нелинейности. Показано, что зависимость энергообмена от временной задержки между импульсами в общем случае имеет знакопеременный характер, который определяется прежде всего соотношением амплитудной и фазовой составляющих нелинейного отклика. Выполнена численная подгонка полученного решения к результатам модельных экспериментов на Si. Найдено, что полное соответствие достигается при использовании подгоночных параметров, определяемых из теории Друде для плазменно-индуцированного изменения диэлектрической проницаемости.

Энергообмен в полупроводниках, возникающий при пространственном параметрическом смещении двух световых импульсов на нелинейной восприимчивости третьего порядка, стимулировал многочисленные исследования, которые были направлены на разработку фазовосопряженных отражательных элементов и усилительных устройств нелинейной оптики [1–7]. Согласно теоретическому рассмотрению [8], энергообмен между импульсами в объемной среде является результатом фазового рассогласования между интерференционным полем накачки и распределением светоиндуцированного изменения диэлектрической проницаемости, которое имеет место либо в среде с нелокальным откликом (фоторефракция), либо в случае, когда отклик является интегральной по времени функцией интенсивности накачки (нестационарность). Исследование эффективности энергообмена в полупроводниках оказалось полезным методом, с помощью которого удалось обнаружить отклик фоторефракции в средах, где рассогласование фаз преимущественно обусловлено нестационарностью процесса возбуждения (GaAs, InP, CdTe, CdS [9–12]). Вместе с тем закономерности, которые обнаруживает энергообмен при переменной временной задержке между импульсами [11,13], оказались вне сферы исследовательского внимания. Фактически, известна лишь одна попытка численного моделирования кинетики энергообмена [10], однако ее результаты трудно признать адекватными результатам экспериментов (см., например, [11,13]). В то же время качественное описание процесса когерентного смещения двух импульсов [13,14] не позволяет выявить относительную роль механизмов нелинейности, которые обуславливают энергообмен. В настоящей работе получено аналитическое решение системы базовых уравнений [8], описывающих самодифракцию двух световых волн с переменной задержкой между ними в среде с амплитудно-фазовой нелинейностью, которое полностью соответствует результатам экспериментов по кинетике энергообмена в Si.

Согласно теории [8], система уравнений, описывающая взаимодействие двух световых волн, сходящихся под углом 2ϑ в объеме нелинейной среды толщиной d (ось z направлена вдоль биссектрисы угла схождения, ось x — вдоль вектора интерференционной решетки), в приближении медленно меняющихся амплитуд имеет следующий вид:

$$\begin{aligned} \frac{\partial C_l}{\partial z} &= i \frac{k_x^2 (l^2 - 1)}{2k_z} C_l - \frac{\alpha C_l}{2 \cos \vartheta} - \frac{ik_0^2}{2k_z} \sum \varepsilon_p C_{l-p}, \\ \frac{\partial \varepsilon_p}{\partial t} &= a \sum_{m=l-p} C_m C_l^* - \frac{\varepsilon_p}{\tau_p}, \end{aligned} \quad (1)$$

где C_l и ε_p — фурье-компоненты разложения светового поля $E = \sum C_l \exp[i(\omega t - k_z z + lk_x x)]$ и нелинейного отклика диэлектрической проницаемости $\delta\varepsilon = \sum \varepsilon_p \exp(ipk_x x)$, $k_z = k_0 \sqrt{\varepsilon_b} \cos \vartheta$, $k_x = k_0 \sqrt{\varepsilon_b} \sin \vartheta$ — проекции волнового вектора k_0 , ε_b — невозмущенная диэлектрическая проницаемость среды, $\tau_p^{-1} = \tau_0^{-1} + Dk_x^2 p^2$ — обратное время жизни светоиндуцированной решетки, определяемое временем жизни τ_0 и диффузией возбужденного состояния, $a = a' + ia''$ — комплексная константа, определяющая величины реальной и мнимой части нелинейного отклика $\delta\varepsilon$, α — коэффициент линейного поглощения.

С учетом брэгговского типа дифракции (т.е. с учетом только членов разложения $C_{\pm 1}$) и комплексного характера нелинейного отклика общая система уравнений (1) приводится к виду

$$\begin{aligned} \frac{\partial C_{+1}}{\partial z} &= -\frac{\alpha}{2} \frac{C_{+1}}{\cos \vartheta} + \frac{ik_0^2}{2k_z} (\varepsilon'_0 C_{+1} + i\varepsilon''_0 C_{+1} + \varepsilon'_2 C_{-1} + i\varepsilon''_2 C_{-1}), \\ \frac{\partial C_{-1}}{\partial z} &= -\frac{\alpha}{2} \frac{C_{-1}}{\cos \vartheta} + \frac{ik_0^2}{2k_z} \times (\varepsilon'_0 C_{-1} + i\varepsilon''_0 C_{-1} + \varepsilon'_{-2} C_{+1} + i\varepsilon''_{-2} C_{+1}), \end{aligned} \quad (2)$$

$$\begin{aligned}\frac{\partial \varepsilon'_0}{\partial t} + i \frac{\partial \varepsilon''_0}{\partial t} &= a(C_{+1}C_{+1}^* + C_{-1}C_{-1}^*) - \frac{\varepsilon'_0}{\tau_0} - i \frac{\varepsilon''_0}{\tau_0}, \\ \frac{\partial \varepsilon'_{+2}}{\partial t} + i \frac{\partial \varepsilon''_{+2}}{\partial t} &= aC_{+1}C_{-1}^* - \frac{\varepsilon'_{+2}}{\tau_2} - i \frac{\varepsilon''_{+2}}{\tau_2}, \\ \frac{\partial \varepsilon'_{-2}}{\partial t} + i \frac{\partial \varepsilon''_{-2}}{\partial t} &= aC_{-1}C_{+1}^* - \frac{\varepsilon'_{-2}}{\tau_2} - i \frac{\varepsilon''_{-2}}{\tau_2}.\end{aligned}\quad (3)$$

Для описания кинетики энергообмена рассмотрим случай, когда поля $C_{\pm 1}$ (C_{+1} — поле накачки, C_{-1} — поле зондирования) описывают световые импульсы гауссовой временной формы длительностью t_p (по уровню $1/e$) и временной задержкой τ между ними. В этом случае система (2), (3) должна быть дополнена граничными условиями вида

$$\begin{aligned}C_{+1}(z, t - \tau)|_{z=0} &= C_{+01}(t - \tau), \\ C_{-1}(z, t)|_{z=0} &= C_{-01}(t), \\ \varepsilon'_0(z, t, \tau)|_{t=-\infty} &= \varepsilon''_0(z, t, \tau)|_{t=-\infty} \\ &= \varepsilon'_{\pm 2}(z, t, \tau)|_{t=-\infty} \\ &= \varepsilon''_{\pm 2}(z, t, \tau)|_{t=-\infty}.\end{aligned}\quad (4)$$

Решение связанной системы (2), (3) ищем в виде

$$\begin{aligned}C_{\pm 1} &= A_{\pm 1}(z, t) \exp \left[i \frac{k_0^2}{2k_z} \int_0^z \varepsilon'_0(z', t) dz' \right. \\ &\quad \left. - \frac{k_0^2}{2k_z} \int_0^z \varepsilon''_0(z'', t) dz'' - \frac{\alpha z}{2 \cos \vartheta} \right].\end{aligned}\quad (5)$$

Подстановка (5) в (2) приводит к следующим уравнениям:

$$\begin{aligned}\frac{\partial A_{+1}}{\partial z} &= \frac{ik_0^2}{2k_z} A_{-1}(\varepsilon'_2 + i\varepsilon''_2), \\ \frac{\partial A_{-1}}{\partial z} &= \frac{ik_0^2}{2k_z} A_{+1}(\varepsilon'_{-2} + i\varepsilon''_{-2}).\end{aligned}\quad (6)$$

Дифференцируя второе из уравнений системы (6) по времени, получим уравнение в смешанных производных

$$\begin{aligned}\frac{\partial^2 A_{-1}}{\partial z \partial t} &= \frac{k_0^2}{2k_z} A_{+1} \left(i \frac{\partial \varepsilon'_{-2}}{\partial t} - \frac{\partial \varepsilon''_{-2}}{\partial t} \right) \\ &\quad + \frac{k_0^2}{2k_z} \frac{\partial A_{+1}}{\partial t} (i\varepsilon'_{-2} - \varepsilon''_{-2}).\end{aligned}\quad (7)$$

Для дальнейшего изложения материала необходимо определить силу неравенства амплитуд смешиваемых импульсов $A_{+1} \neq A_{-1}$ ($|A_{+1}|^2/|A_{-1}|^2 = R$), по отношению к которому применим настоящий анализ, поскольку оно критическим образом определяет эффективность энергообмена в средах с локальным откликом нелинейности до тех пор, пока при $R = 1$ энергообмен между импульсами не исчезает. Нетрудно показать (см. Приложение), что в условиях постоянной

накачки $|A_{+1}|^2 + |A_{-1}|^2 = \text{const}$ усиление неравенства $|A_{+1}|^2 \neq |A_{-1}|^2$ вызывает увеличение эффективности энергообмена, которое, однако, имеет насыщающийся характер, т.е. после достижения некоторого значения $R = R_0$ энергообмен перестает зависеть от соотношения амплитуд. Такое поведение энергообмена можно интерпретировать как компенсацию двух процессов, один из которых уменьшает эффективность энергообмена за счет уменьшения глубины модуляции интерференционного поля ($A_{+1} + A_{-1}$), в то время как другой увеличивает эту эффективность за счет роста фазового рассогласования между интерференционным полем накачки и светоиндуцированной решеткой диэлектрической проницаемости $\delta\varepsilon$. Определив таким образом соотношение интенсивностей как $R \geq R_0$, воспользуемся приближением заданного поля накачки

$$A_{+1}(z, t) = A_{+1}(0, t) = A_0 \exp \left[-2 \left(\frac{t - \tau}{t_p} \right)^2 \right],$$

из которого следует соотношение

$$\frac{\partial A_{+1}(z, t)}{\partial t} = -4 \frac{(t - \tau)}{t_p^2} A_{+1}(z, t).\quad (8)$$

Используя (3), (6), (8) и полагая, что импульсы на входе в нелинейную среду имеют одинаковую длительность, уравнение (7) можно привести к уравнению для распространения амплитуды $A_{-1}(z, t)$ зондирующего импульса

$$\frac{\partial^2 A_{-1}}{\partial z \partial t} = F(z, t) A_{-1} - \left(\frac{1}{\tau_2} + 4 \frac{t - \tau}{t_p^2} \right) \frac{\partial A_{-1}}{\partial z},\quad (9)$$

которое должно решаться совместно с мнимой частью первого уравнения системы (3)

$$\frac{\partial \varepsilon''_0}{\partial t} = -\frac{2k_z}{k_0^2} \text{Re}[F(z, t)] - \frac{\varepsilon''_0}{\tau_0},\quad (10)$$

где

$$\begin{aligned}F(z, t) &= i \frac{k_0^2}{2k_z} a |A_{+1}|^2 \\ &\quad \times \exp \left(-\frac{k_0^2}{k_z} \int_0^z \varepsilon''_0(z, t) dz - \frac{\alpha}{\cos \vartheta} \right).\end{aligned}\quad (11)$$

Как и следовало ожидать, на участке насыщения усиления, для которого справедливо приближение заданного поля накачки (8), полученная система уравнений (9), (10) содержит лишь однородный член разложения ε_0 светоиндуцированной диэлектрической проницаемости $\delta\varepsilon$, в то время как модуляционные члены $\varepsilon_{\pm 2}$ отсутствуют.

Полагая, что наведенное поглощение мало, т.е. $\frac{k_0^2}{k_z} \int_0^z \varepsilon''_0(z, t) dz < 1$, в первом приближении можно считать $\varepsilon''_0(z, t) \approx \varepsilon''_0(0, t) = a'' \int_{-\infty}^t |A_{+1}(0, t')|^2 \times \exp \left(\frac{t-t'}{\tau_0} \right) dt'$.

Тогда

$$F(z, t) = i \frac{k_0^2}{2k_z} a'' |A_{+1}|^2 \exp \left[-\frac{k_0^2}{k_z} a'' z \right] \times \int_{-\infty}^t |A_{+1}|^2 \exp \left(\frac{t-t'}{\tau_0} \right) dt' - \frac{\alpha z}{\cos \vartheta}$$

оказывается выраженным только через заданную интенсивность накачки, а потому уравнение (9) становится независимым. Решение этого уравнения может быть найдено методом Римана [15], если $F(z, t)$ является факторизованной функцией переменных (z, t) . Для выполнения этого условия можно воспользоваться малостью наведенного поглощения и оценить его верхним предельным значением, т.е. положить в первом слагаемом под экспонентой (11) $z = d$. Следуя [16], функцию Римана для уравнения (9) находим с помощью автомодельной переменной

$$U(z, t, z_0, t_0) = 2i \sqrt{\int_{t_0}^t \int_{z_0}^z F(z, t) dz dt},$$

в которой нижние пределы интегрирования — свободные параметры. Тогда искомое выражение для амплитуды зондирующей волны будет иметь вид

$$A_{-1}(z, t) = A_{-01} \left[1 + \Theta \left(\frac{t_p}{2} + G\tau - t \right) W(z, t) \right],$$

$$W(z, t) = \int_{-\frac{1}{2} + K\tau}^t \frac{2J_1[U(z, t, 0, t_0)]}{U(z, t, 0, t_0)} P(z, t_0) \times \exp \left[-\left(\frac{1}{\tau_2} - \frac{4\tau}{t_p^2} \right) (t - t_0) \right] dt_0, \quad (12)$$

где $\Theta(x)$ — функция Хевисайда, $J_1(x)$ — функция Бесселя первого порядка, $P(z, t_0) = \int_0^z F(z, t_0) dz$.

Пределы интегрирования по t_0 определяются областью когерентного перекрытия импульсов, т.е. $-t_p/2 + K\tau \leq t_0 \leq t_p/2/2 + G\tau$, где $G = 1$, $K = 0$ при $\tau \leq 0$, $G = 0$, $K = 1$ при $\tau > 0$, $-t_p < \tau < +t_p$. При этом полагается, что импульс является спектрально-ограниченным, т.е. время когерентности импульса t_c равно его длительности t_p . Окончательно величина относительного изменения пропускания с учетом гауссова пространственного распределения интенсивности взаимодействующих пучков, имеющих поперечный размер $2r_0$, может быть рассчитана по формуле

$$\frac{T(\tau) - T_0}{T_0} = \frac{4 \exp(\alpha d) \int_0^\infty r dr \int_{-\infty}^\infty |A_{-1}(r, d, r)|^2 dt}{\sqrt{\pi} r_0^2 t_p} - 1. \quad (13)$$

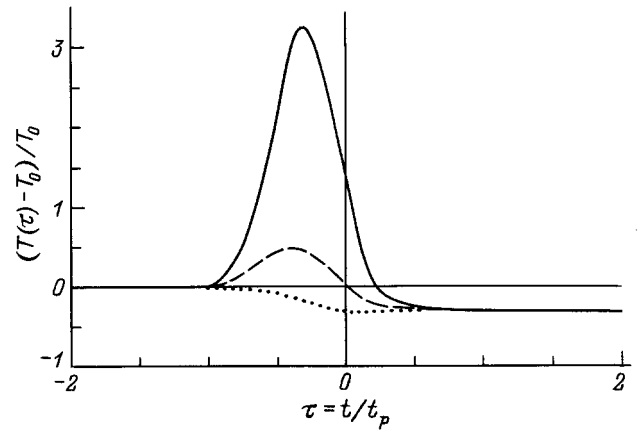


Рис. 1. Теоретическая зависимость кинетики энергообмена от задержки между возбуждающим и зондирующим импульсами в приближении заданного поля накачки. Энергия накачки 60 mJ/cm^2 время релаксации 150 ps . Параметры расчета: $a'' = 0.013 \text{ cm}^2/\text{J}$, $a'' = 0$ (пунктир), -0.1 (штриховая линия) и $-0.3 \text{ cm}^2/\text{J}$ (сплошная линия).

Из полученного решения видно, что эффективность энергообмена как функция задержки между импульсами $(T(\tau) - T_0)/T_0$ определяется такими параметрами, как интенсивность возбуждающего импульса $|A_{+1}|^2$, соотношение времен релаксации возбуждения τ_0 , τ_2 и длительности импульса t_p , а также величинами вещественной a' и мнимой a'' части константы пропорциональности, связывающей нелинейный отклик среды и интенсивность возбуждающего импульса. При этом вид функции $(T(\tau) - T_0)/T_0$ главным образом зависит от последних двух параметров. Это иллюстрируется (рис. 1) результатами численного расчета решения (13), выполненного для гипотетического случая, в котором светоиндуцированная диэлектрическая проницаемость характеризуется некоторой постоянной величиной $a'' = 0.013 \text{ cm}^2/\text{J}$, в то время как a' принимает последовательно значения 0 , -0.1 , $-0.3 \text{ cm}^2/\text{J}$ (время релаксации решетки 150 ps). Из этого рисунка видно, что в предельном случае $a' = 0$, когда нелинейный отклик диэлектрической проницаемости является чисто мнимой величиной, перекачка энергии светового поля возбуждающего импульса за счет самодифракции на амплитудной решетке происходит в противофазе с полем зондирующего импульса, в результате чего возникает интерференционное гашение этого импульса с минимумом пропускания при $\tau \approx 0$. По мере того, как нелинейный отклик приобретает фазовую составляющую ($a' = -0.1 \text{ cm}^2/\text{J}$), в канале зондирования (C_{-1}) появляется синфазная компонента самодифракции (теперь уже на амплитудно-фазовой решетке), приводящая к усилению зондирующего импульса и соответственно к росту индуцированного пропускания $(T(\tau) - T_0)/T_0$, величина которого становится положительной. Вид зависимости $(T(\tau) - T_0)/T_0$ при этом приобретает знакопеременный характер: усиление в области отрицательных и поглощение в области поло-

жительных задержек. Дальнейшее увеличение фазовой составляющей нелинейного отклика ($a' = -0.3 \text{ cm}^2/\text{J}$) сопровождается ростом усиления зондирующего импульса, которое проявляется в виде положительного, слегка асимметричного пика пропускания с максимумом при $\tau = -0.3t_p$. Таким образом, результаты расчета решения (13) показывают, что в приближении заданного поля накачки и при локальности нелинейного отклика вид зависимости энергообмена от временной задержки полностью определяется соотношением реальной и мнимой части этого отклика, т.е. соотношением между a' и a'' .

Эксперименты были выполнены с использованием одиночного пикосекундного импульса длительностью $t_p \approx 30 \text{ ps}$ (YAG:Nd³⁺), который по традиционной схеме [7] разделялся на два импульса I_{ex} (возбуждающий) и I_{pr} (зондирующий) с последующим их пространственным совмещением в объеме исследуемого полупроводника через оптическую линию переменной временной задержки. Смещение импульсов производилось в объеме кремниевой пластины (n -тип, $\rho \sim 10^2 \Omega \cdot \text{cm}$, ориентация [111], линейный коэффициент поглощения 9 cm^{-1}), толщина которой составляла $d = 0.4 \text{ mm}$. Угол схождения импульсов $2\vartheta = 25^\circ$ выбирался из неравенства Клейна $2\pi\lambda d/n\Lambda^2 \geq 10$, которое определяет брэгговский тип светоиндуцированной решетки. Величина пропускания $(T(\tau) - T_0)/T_0$ измерялась счетно-анализирующим комплексом по отношению прошедшей и падающей энергии зондирующего импульса при заданной 10%, величине флуктуаций энергии возбуждающего импульса и его коэффициента преобразования во вторую гармонику.

На первом этапе измерялась зависимость относительного изменения пропускания зондирующего импульса $(T(\tau) - T_0)/T_0$ при переменном соотношении интенсивностей $I_{\text{ex}}/I_{\text{pr}}$ ($\tau \approx 0.3t_p$, $E_{\text{ex}} \approx 90 \text{ mJ/cm}^2$), которая позволяет установить значение R_0 , отвечающее приближению заданного поля накачки. Как видно из полученных результатов (рис. 2), для кремния это приближение начинается выполняться при $R > R_0 \approx 10^3$. В соот-

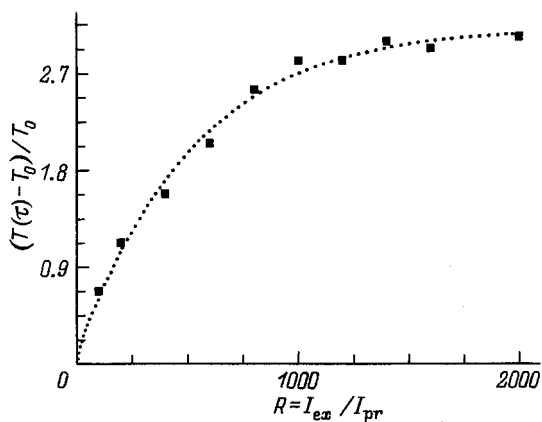


Рис. 2. Экспериментальная зависимость эффективности энергообмена в Si от переменного отношения интенсивностей возбуждающего и зондирующего импульсов $I_{\text{ex}}/I_{\text{pr}}$. Энергия накачки 90 mJ/cm^2 .

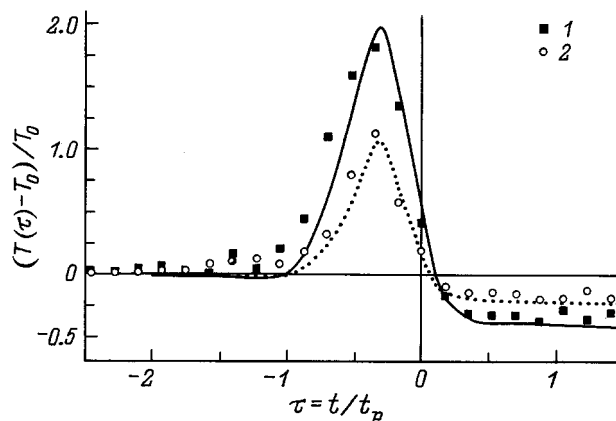


Рис. 3. Численная подгонка решения (13) к результатам эксперимента по смещению двух импульсов при переменной временной задержке. Энергия накачки 80 (1) и 40 mJ/cm^2 (2).

ветствии с этим дальнейшие измерения пропускания в зависимости от временной задержки были выполнены при соотношении $R = 1.5 \cdot 10^3$. Типичный вид кинетики пропускания, полученный в этих условиях для двух значений энергии накачки, представлен на рис. 3. Пользуясь приведенным выше анализом, в котором $\tau_2 = 1.5 \cdot 10^{-10} \text{ s}$, мы произвели численную подгонку решения (13) к результатам эксперимента на рис. 3 путем подбора параметров a' и a'' . Для обоих случаев энергии накачки наилучшее совпадение, отражающее все особенности кинетики энергообмена (рис. 3), было достигнуто для пары значений $a' = -15 \cdot 10^{-2}$ и $a'' = 1.2 \cdot 10^{-2} \text{ cm}^2/\text{J}$.

Как видно из второго уравнения системы (1), нелинейный отклик диэлектрической проницаемости инициируется генерационным членом $a \sum_{m-l=p} C_m C_l^*$, которому применительно к нашим экспериментам отвечает процесс фотовозбуждения свободных носителей за счет однофотонных межзонных переходов. В простейшей модели Друде параметры a' и a'' представляются как

$$a' = -\frac{4\pi e^2}{\omega^2} \frac{m_e^* + m_h^*}{m_e^* m_h^*} \frac{\alpha}{\hbar\omega}, \quad a'' = \frac{\sigma n_0 \lambda}{2\pi} \frac{\alpha}{\hbar\omega}, \quad (14)$$

где m_e^* , m_h^* — эффективные массы электронов и дырок соответственно, σ — поперечное сечение поглощения свободных носителей, n_0 — невозмущенный показатель преломления, e — заряд электрона.

Согласно данным работ [17–19], величины, входящие в (14), равны $m_e^* = 0.26m_0$, $m_h^* = 0.39m_0$, $\sigma = 5 \cdot 10^{-18} \text{ cm}^2$; отсюда следует, что $a' = -21 \cdot 10^{-2}$ и $a'' = 1.3 \cdot 10^{-2} \text{ cm}^2/\text{J}$. Как видно, полученные в эксперименте значения a' и a'' весьма удовлетворительно соответствуют величинам, рассчитанным по соотношению (14), что подтверждает справедливость результатов выполненного анализа.

Авторы признательны Б.П. Захарчене за интерес и поддержку настоящей работы, которая была выполнена в рамках гранта МНТП № 6.29 "Лазерная физика".

Приложение

Рассмотрим нестационарный энергообмен между прямоугольными импульсами в среде с фазовым характером нелинейного отклика и бесконечно большим временем релаксации возбуждения. При условии малости светоиндуцированной добавки к диэлектрической проницаемости величины $\varepsilon'_{\pm 2}$ определяются входными амплитудами импульсов

$$\varepsilon'_{\pm 2} \approx a' \phi \varphi \int_{t_0}^t C_0^2 dt', \quad (\text{П1})$$

где $A_{+1}(0, t) = \phi C_0$, $A_{-1}(0, t) = \varphi C_0$.

Как видно, корректность этого приближения определяется либо малостью константы нелинейного отклика среды a' , либо малым значением экспозиции $\phi \varphi \int_{t_0}^t C_0^2 dt'$.

Второй случай, очевидно, выполняется при достаточно большом отношении амплитуд импульсов ($\phi > \varphi$). Выразив ϕ и φ через $g = \varphi^2 + \phi^2$ и $R = \phi/\varphi$ и подставив (П1) в систему уравнений (6) при $a'' = 0$, найдем амплитуду и фазу возбуждающей волны

$$|A_{+1}(z, t)| = C_0 \left[\frac{R^2 g}{R^2 + 1} \cos^2 \left(\frac{Rg}{R^2 + 1} W(t)z \right) + \frac{g}{R^2 + 1} \sin^2 \left(\frac{Rg}{R^2 + 1} W(t)z \right) \right]^{1/2},$$

$$\Psi_{+1}(z, t) = \arctg \left(\frac{1}{R} \operatorname{tg} \left(\frac{Rg}{R^2 + 1} W(t)z \right) \right),$$

где $W = (k_0^2/2k_z)a'C_0^2 t$.

Как видно, при достаточно большом отношении R на толщине нелинейного слоя $d \leq (R^2 + 1)/RW(t_p)g$ возбуждающий импульс практически не меняется ($|A_{+1}(z, t)| \approx \phi C_0$, $\Psi_{+1}(z, t) \approx 0$). Соответствующее этому относительное изменение зондирующего импульса в первом приближении по параметру нелинейности можно записать как

$$\frac{|A_{-1}(d, t_p)|^2}{\varphi^2 C_0^2} - 1 = \sin^2 \left[W(t_p) \frac{gR}{R^2 + 1} \right] (R^2 - 1). \quad (\text{П2})$$

Отсюда можно видеть подтверждение основных особенностей эффективности энергообмена (рис. 2) как функции отношения интенсивностей взаимодействующих импульсов, а именно: отсутствие энергообмена при $R = 1$, его рост и насыщение при возрастании R .

Список литературы

- [1] В.Л. Винецкий, Т.Е. Запорожец, Н.В. Кухтарев, А.С. Матвейчук, С.Г. Одулов, М.С. Соскин. Письма в ЖЭТФ **25**, 4, 432 (1977).
- [2] В.Л. Винецкий, Н.В. Кухтарев, М.С. Соскин. Квантовая электрон. **4**, 3, 420 (1977).

- [3] K. Jarasiunas, H.J. Gerritsen. Appl. Phys. Lett. **33**, 1, 100 (1978).
- [4] А.А. Борщ, Н.С. Бродин, В.И. Волков, В.В. Овчар, Д.Т. Тарашенко. Квантовая электрон. **4**, 4, 646 (1977).
- [5] H.J. Eichler, F. Massmann. J. Appl. Phys. **53**, 9, 3237 (1982).
- [6] H.J. Eichler, H. Glotz, A. Kummrow, K. Richter, X. Yang. Phys. Rev. **A35**, 11, 4673 (1987).
- [7] H.J. Eichler, P. Giunter, D. Pohl. Laser-Induced Dynamics Gratings. Springer Series in Optical Science. Springer-Verlag, Berlin (1986). V. 50.
- [8] В.Л. Винецкий, Н.В. Кухтарев, С.Г. Одулов, М.С. Соскин. УФН **129**, 1, 113 (1979).
- [9] В.Л. Винецкий, Н.В. Кухтарев, Е.Н. Салькова, Л.Г. Суховерхова. Квантовая электрон. **7**, 6, 1191 (1980).
- [10] G.C. Valley, A.L. Smirl. IEEE J. Quant. Electron. **24**, 2, 304 (1988).
- [11] A.L. Smirl, G.C. Valley, K.M. Bohnert, T.F. Boggess. IEEE J. Quant. Electron. **24**, 2, 289 (1988).
- [12] G.C. Valley, J. Dubard, A.L. Smirl, A.M. Glass. Opt. Lett. **14**, 8, 961 (1989).
- [13] А.А. Бугаев, Г.К. Аверкиева, В.Д. Прочухан. ФТТ **37**, 8, 2495 (1995).
- [14] H.J. Eichler, D. Langhaus, F. Massmann. Opt. Commun. **50**, 1, 117 (1984).
- [15] А.Б. Шабат. Уравнения с частными производными. Новосибирск (1967). Ч. 2. 324 с.
- [16] Б.Я. Зельдович, П.В. Лернер, Е.А. Немкова. Квантовая электрон. **14**, 9, 2502 (1987).
- [17] P.E. Schmid. Phys. Rev. **B23**, 6, 5531 (1981).
- [18] W. Spitzer, H.Y. Fan. Phys. Rev. **108**, 2, 268 (1957).
- [19] K.B. Svantesson. J. Phys. **D12**, 1, 425 (1979).